

بررسی اثر شوینده هیپوکلریت سدیم بر مقاومت چرخشی فایلهای روتاری نیکل-تیتانیوم X Pro Gold و Neolix

دکتر سولماز عراقی^۱، دکتر عباس دلوانی^۲، دکتر فائزه دهقان^۳، دکتر پریسا کاغذلو^{*}

۱- استادیار بخش اندودانتیکس دانشکده دندانپزشکی، دانشگاه علوم پزشکی آزاد اسلامی تهران

۲- اندودنتیست

۳- دندانپزشک عمومی

۱۴۰۲/۸/۱ پذیرش مقاله:

۱۴۰۲/۷/۲۰ اصلاح نهایی:

۱۴۰۲/۴/۱۰ وصول مقاله:

Evaluation of two nickle-titanium systems' (Neolix and X Pro Gold) resistance to fracture after immersion in sodium hypochlorite.

Solmaz Araghi¹, Abbas Delvarani², Faeze Dehghan³, Parisa Kaghazloo³

1-Associate professor, Endodontic Dept, Dental School, Islamic Azad University Of Medical Science, Tehran,Iran

2- Endodontics

3-Denist

Received:July 2023 ; Accepted: Nov 2023

Abstract

Background and Aim: NiTi instruments have a high risk of separation due to torsional or flexural fatigue (cyclic fatigue). Chemomechanical preparation and chemical disinfection causes the corrosion of endodontic instruments that may weaken the fracture resistance of the instruments. This study is to evaluate the two nickle-titanium systems' (Neolix and X Pro Gold) resistance to fracture after immersion in sodium hypochlorite.

Materials and methods: In this in vitro study, 32rotary files of Neolix file(Neolix,France) and X Pro Gold file (Easyinsmile,China),in size of 25 and 25 mm long were examined. The samples were divided into 2 groups of Neolix and X Pro Gold files(n=16). Then each group was divided into 2 subgroups: 2/5% sodium hypochlorite and normal saline based on the type of irrigation solution (n = 8). Cyclic fatigue test was performed with artificial canals in stainless steel blocks with a 60 ° angle of curvature and a radius of 5 mm. The files used inside the artificial canals according to the manufacturer's instructions based on the torque (Neolix=1.5 N.cm and X Pro Gold=2.5 N.cm) and recommended speed (350 rpm), until they broke. Fracture time in seconds and number of cycles to failure (NCF) were calculated. The length of the broken piece was calculated in both files. Finally, the fractured surfaces of 2 samples from each group were randomly examined via scanning electron microscopy. SPSS software version 26 and two-way ANOVA test were used to analyze the data ($p < 0.05$).

Results: The average length of the broken piece was 4/95 mm in X Pro Gold file and 2/75 mm in Neolix file. Storing environment ($p = 0.654$) did not affect the number of cycles before fracture of the X Pro Gold and Neolix files,but file type ($p<0.001$) had an impact on it.

Conclusion: The results of this study showed that storing environment did not affect the number of cycles before fracture of X Pro Gold and Neolix files but file type affected them.Neolix file(NCF hypo=1098,NCF saline=1088) had a better performance than X Pro Gold file(NCF hypo=509 ,NCF saline=474).

Key words: Sodium Hypochlorite, Cyclic Fatigue Resistance, Rotary File

*Corresponding Author: pariskaghazloo@gmail.com

J Res Dent Sci.2024;21(1):17-26

سابقه و هدف: فایل های NiTi به دلیل خستگی چرخشی (Cyclic fatigue) یا خستگی خمشی (Torsional loading) خطر شکست بالایی دارند. ضدغونی و آماده سازی شیمی مکانیکی (chemomechanical) می تواند باعث خوردگی ابزارهای انودنوتیک شود که ممکن است مقاومت در برابر شکستگی وسیله را تضعیف کند. این مطالعه با هدف بررسی اثر شوینده هیپوکلریت سدیم بر مقاومت چرخشی فایل های روتاری نیکل-تیتانیوم Neolix X Pro Gold انجام گرفت.

مواد و روش ها: در این تحقیق تجربی آزمایشگاهی ۳۲ فایل (Neolix, France) و ۱۶ عدد X Pro Gold (Neolix, China) میلیمتری سایز ۲۵ روتاری به ۲ گروه تقسیم شدند ($n=16$) و سپس براساس نوع محلول شوینده به صورت تصادفی به ۲ زیر گروه نرمال سالین و شوینده هیپوکلریت سدیم (۲.۵٪) تقسیم و به مدت ۵ دقیقه در هر کدام غوطه ور شدند ($n=8$). تست cyclic fatigue با کanal مصنوعی در بلوك استنلس استیل باشعاع کرو ۵ میلیمتر و زاویه انحنای ۶۰ درجه انجام شد. فایل ها مطابق با دستور کارخانه سازنده براساس X Pro Gold = ۲.۵ Torque (1.5 Neolix) و سرعت (۳۵۰) توصیه شده، در داخل (کanal مصنوعی) استفاده شدند تا زمانی که شکستند زمان شکستگی به ثانیه و تعداد چرخش تا شکست (NCF)، محاسبه شد. طول قطعه شکسته در هر دو فایل محسوبه شد. در انتها سطوح شکسته تعداد ۲ نمونه از هر گروه به صورت تصادفی با میکروسکوپ الکترونی بررسی شدند.

یافته ها: محیط نگهداری بر تعداد چرخش فایل قبل از شکست فایلهای X Pro Gold و Neolix تاثیرگذار نبود ($p=0.654$). اما نوع فایل بر مقاومت چرخشی فایل های روتاری Neolix X Pro Gold و Neolix تاثیرگذار بود ($p<0.001$).

نتیجه گیری: نتایج این مطالعه نشان داد که محیط نگهداری و تقابل نوع فایل و محیط نگهداری بر تعداد چرخش و مدت زمان قبل از شکستگی فایلهای Neolix X Pro Gold تاثیرگذار نمی باشد ولی نوع فایل موثر بوده و فایل Neolix تاثیرگذار نمی باشد ولی نوع فایل موثر بوده و فایل Neolix از فایل عملکرد بهتری دارد.

کلید واژه ها: مقاومت به شکست چرخشی، فایل روتاری، هیپوکلریت سدیم

مقدمه:

مکانیکی فایلهای NiTi اثر گذاشته است درنتیجه موجب ترک بر روی فایل ها و در پی آن کاهش مقاومت فایل ها در برابر cyclic fatigue گردد و خطر شکستگی فایل ها را افزیش دهد^(۱-۴). روش های جدیدی برای تقویت فایل های روتاری NiTi در برابر شکستگی ناشی از cyclic fatigue عنوان شده است. از جمله این روش ها استفاده از آلیاژهای جدید برای اصلاح خواص مکانیکی فایل ها میباشد^(۵). یکی از این فایل های جدید روتاری Ni-Ti فایل نئولیکس است که توسط فرآیند ماشینکاری تخلیه الکتریکی (Electrical Discharge Machining=EDM) ساخته شده که به آن قابلیت انعطاف بالاتر و مقاومت به خستگی بیشتر با وجود سطح سخت و خشن را می دهد^(۶-۷). سطح مقطع این فایل مستطیلی است که به آن اثر ضدپیچشی بالایی بخشیده است^(۸-۹).

شکستن فایل های روتاری به علت خستگی دوره ای (cyclic fatigue) در کanal های ریشه یکی از چالشهای مهم درمان های اندو دانتیکس می باشد که میتواند نتایج این درمان ها را به مخاطره بیاندازد. cyclic fatigue اصلی ترین علت شکستگی مکانیکی فایل های روتاری عنوان شده است. بنابراین ارزیابی مقاومت فایل های روتاری نیکل تیتانیوم (NiTi) در برابر cyclic fatigue از اهمیت بالایی برخوردار است^(۱0-۱۳). یکی از موارد تاثیرگذار بر مقاومت در شکست فایل ها هیپوکلریت سدیم (NaOCl) می باشد. NaOCl به علت فعالیت ضد میکروبی و انحلال بافتی، به هدف ضد عفونی در درمان ریشه حین آماده سازی کanal استفاده می شود. این محلول بر روی فلزات اثر خورندگی دارد که ممکن است حین تماس با فایلهای در طی مراحل آماده سازی کanal بر خواهد.

مواد و روش‌ها

در این تحقیق که به روش تجربی آزمایشگاهی با کد اخلاق IR.IAU.DENTAL.REC.1399.۲۳۸ دندانپزشکی دانشگاه علوم پزشکی آزاد اسلامی انجام گرفت ۱۶ فایل نو ۲۵ میلی متری سایز ۲۵ از دو نوع سیستم مختلف X Pro و Neolix(Neolix,France) Gold(Easyinsmile,China) بررسی cyclic fatigue در کanal کرودار در حضور شوینده (CERKAMED, ul. Kwiatkowskiego 137-450 Stalowa Wola, Poland) استفاده شد. قبل از مطالعه، تمام فایل‌ها زیر استریومیکروسکوپ (Nikon,ZMZ1000,Japon) با بزرگنمایی $\times 30$ از لحاظ دفرمیتی و نقص‌های مورفولوژیک بررسی شدند. روش نمونه‌گیری مبتنی بر هدف بود. نمونه‌های مورد مطالعه در ۲ گروه ۱۶ فایل از هر کدام از فایل‌های X Pro Gold و Neolix تقسیم شده و هر گروه به صورت تصادفی ساده به ۲ زیر گروه تقسیم شد: گروه اول، ۱۶ عدد فایل در حضور شوینده هیپوکلریت سدیم، که شامل ۸ عدد فایل Neolix و ۸ عدد فایل X Pro Gold بودند. گروه دوم، ۱۶ عدد فایل در حضور نرمال سالین شامل ۸ عدد فایل Neolix و ۸ عدد فایل X Pro Gold بودند. فایل‌ها به مدت ۵ دقیقه در دمای اتاق (۲۷-۲۲ درجه سانتی گراد) در ۱ سی سی محلول مورد بررسی در بلوك شبیه سازی غوطه ور شدند. تست cyclic fatigue با کanal‌های مصنوعی در بلوك‌های استنلس استیل با زاویه انحنای ۶۰ درجه^(۵,۳) و شعاع کرو ۵ میلی متر انجام شد. برای جلوگیری از لغزش فایل‌ها، صفحه شیشه‌ای بر روی کanal‌های مصنوعی قرار داده شد. داخل بلوك‌ها با نرمال سالین یا NaOCl ۲/۵ درصد پر شد.^(۱۴,۵)

همچنین به دلیل تبعیت از فرم کanal حین درمان، این فایل‌ها از ایجاد لج و ترنسپورت جلوگیری می‌کنند و کمتر موجب انحراف از زاویه اصلی کanal می‌شوند.^(۱۱) فایل‌های جدید روتاری Ni-Ti X Pro Gold با نام Ni-Ti با تکنیک آلیاز حافظه دار ساخته شده‌اند و جزو فایل‌های دارای حافظه شکلی (control memory) هستند که طبق مطالعات این ویژگی منجر به افزایش ۸۰۰-۳۰۰ درصدی مقاومت به شکست این فایل‌ها نسبت به فایل‌های Ni-Ti معمولی می‌شود.^(۱۲) طبق ادعای شرکت سازنده این فایل، زمان cyclic fatigue تا شکستن آنها ۷۲۰ ثانیه است و این فایل‌ها برای استفاده در کanal‌های انحنادار مناسب هستند و تا جای ممکن عاج را حفظ می‌کنند. طراحی قابل اعتماد نوک و سیله، مانع ایجاد جایی و لبه (ledge) در اپکس می‌شود.^(۱۳)

تاكون هيچ بررسى بر روی مقاومت به cyclic fatigue در اين فایل‌ها پس از غوطه ور سازی در هیپوکلریت سدیم صورت نگرفته است. در حالیکه میزان مقاومت به شکست در این فایلهای روتاری می‌تواند درمان‌های ریشه را تحت تاثیر قرار دهد. فرضیه‌های این تحقیق به شرح زیر می‌باشند: تعداد چرخش فایل‌های Neolix و X Pro Gold در محیط هیپوکلریت سدیم و نرمال سالین تا قبل از شکستگی چقدر است.

مدت زمان فایل‌های Neolix و X Pro Gold در محیط هیپوکلریت سدیم و نرمال سالین تا شکستگی چقدر است.

نوع فایل و محیط بر تعداد چرخش تا شکستن فایل، تاثیر معناداری دارد. نوع فایل و محیط بر مدت زمان تا شکستن فایل، تاثیر معناداری دارد.

بنابراین با توجه به خلا اطلاعاتی در مقالات، هدف از این تحقیق بررسی مقاومت به شکست چرخشی دو سیستم فایل نیکل-تیتانیوم Neolix و X Pro Gold در حضور شوینده هیپوکلریت سدیم در بخش اندودانتیکس دانشکده دندانپزشکی علوم پزشکی آزاد اسلامی تهران سال ۱۴۰۰-۱۳۹۹ بود.

بررسی اثر شوینده هیپوکلریت سدیم بر مقاومت چرخشی فایلهای روتاری نیکل-تیتانیوم

ناحیه حداکثر تنش در شرایط مختلف، مشابه است. این نتایج موقعيت

قابلیت تکرار فایل ها در یک مسیر دقیق را تأیید کرد.^(۱۴، ۱۵، ۱۶)



شکل ۱- قطعات شکسته فایل ها زیر میکروسکوپ دیجیتال

فایل های شکسته با الکل در حمام اولتراسونیک Becker(Vira Tejarat Becker,Iran) تمیز شدند و سطوح شکسته با میکروسکوپ الکترونی JOEL,Tokyo,Japon به منظور یافتن منشاء شکست فایل وجود کروزن یا حفره(pitting) در سطح فایل در حضور شوینده هیپوکلریت سدیم یا سرم بررسی شد.^(۱۵) (شکل ۱)

میانگین و انحراف معیار تعداد چرخش فایل قبل از شکستگی در فایلهای Neolix X pro Gold و Neolix در محیط های نرمال سالین و هیپوکلریت سدیم در جدول و نمودار ۱ آمده است.

جدول ۱- میزان چرخش قبل از شکستگی در فایلهای Neolix و Gold در محیط های آب مقطر و هیپوکلریت سدیم

آزمون	نرمال سالین	نوع فایل
	هیپوکلریت سدیم	میانگین
P=۰/۶۵۴	۵۰.۹۶۲ ± ۶۱.۷۵	SD ± میانگین در
P=۰/۸۰۲	۱۰.۹۸/۳۷±۲۲۲/۳	X pro Gold (n=۸) Neolix (n=۸)



بلوک استنلس استیل جهت تست cyclic fatigue

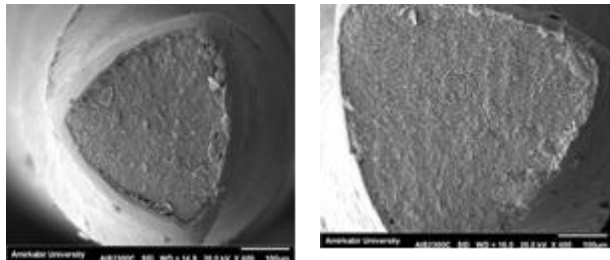
(Denjoy Denjoy Dental,China) ثابت شد و فایل ها تا mm ۱۹ طول کار کرد خود به داخل کanal وارد شدند. فایل ها داخل موتور گداشته شده و مطابق با دستور کارخانه سازنده بر اساس نیروی گشتاور (Torque) و سرعت توصیه شده ، در داخل کanal های مصنوعی استفاده شدند تا زمانی که شکستند. زمان شکستگی به ثانیه ثبت گشت و تعداد چرخش تا شکست NCF = rpm با فرمول (NCF = rpm × time to fracture)/60 محاسبه شد.^(۵،۲)

طول قطعه شکسته به دلیل دقت بالاتر از میکروسکوپ های نوری با میکروسکوپ دیجیتالی Uromex,FE.2025,Holand محاسبه شد.

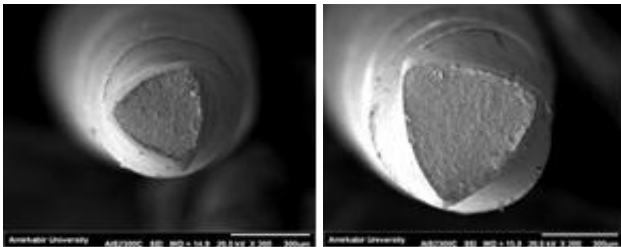
برای تجزیه و تحلیل داده ها از نرم افزار SPSS ورژن ۲۶ استفاده شد. برای بررسی تاثیر محیط نگهداری و نوع فایل بر تعداد چرخش تا شکست و زمان شکست از آزمون Two-way ANOVA استفاده گردید. مقادیر کمتر از ۰/۰۵ به عنوان سطح معنی دار در نظر گرفته شد.

یافته ها:

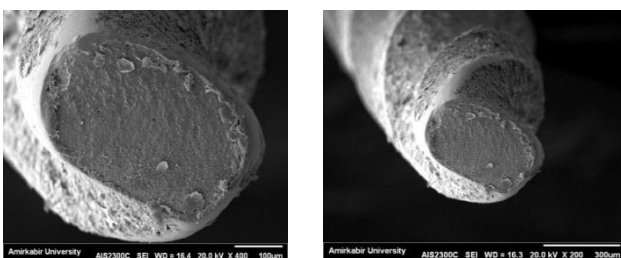
در مطالعه حاضر تعداد ۳۲ عدد فایل روتاری از نظر تعداد چرخش و زمان شکست ارزیابی شدند. میانگین طول قطعه شکسته در فایل Neolix: 2.75 mm و در فایل X Pro Gold: 4.95 mm که هر دو مطابق با مطالعات قبلی، در ناحیه حداکثر اینها، در محدوده ۰/۵-۵/۲ میلی متر بودند و این یافته نشان می دهد که



شکل ۳- تصاویر میکروسکوپ الکترونی از کراس سکشن فایل X پس از غوطه وری در محلول نرمال سالین Pro Gold

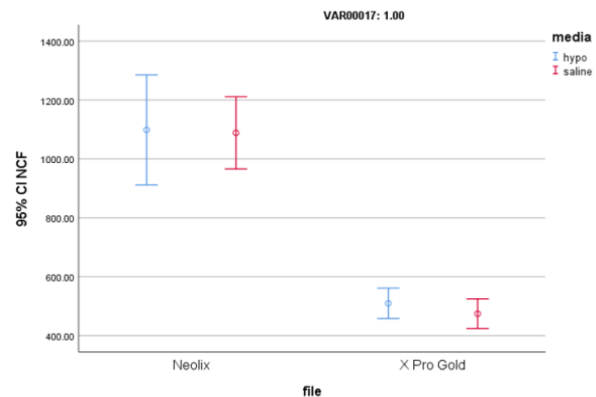


شکل ۴- تصاویر میکروسکوپ الکترونی از کراس سکشن فایل Neolix پس از غوطه وری در هیپوکلریت سدیم ۷/۵



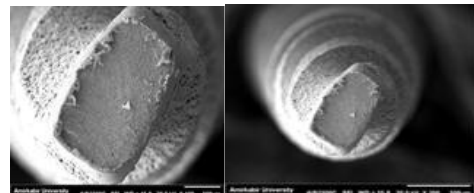
شکل ۵- تصاویر میکروسکوپ الکترونی از کراس سکشن فایل X Pro Gold پس از غوطه وری در هیپوکلریت سدیم ۷/۵

براساس آزمون Two-way ANOVA، نوع فایل X (p<0/001) بر تعداد چرخش فایل قبل از شکست فایلهای Neolix و Pro Gold تاثیرگذار بود اما محیط نگهداری (p=۰/۶۵۴) و تقابل محیط نگهداری و نوع فایل (p=۰/۸۰۲) بر تعداد چرخش فایل قبل از شکست تاثیرگذار نبود.



نمودار ۱- میزان تعداد چرخش فایل قبل از شکستگی در فایلهای Neolix و Pro Gold در محیط‌های نرمال سالین و هیپوکلریت سدیم

تصاویر میکروسکوپ الکترونی مقاطع شکستگی فایلهای X و Neolix و Pro Gold نشان داد که شروع ترک در لبه‌های برنده کراس سکشن‌های شکستگی، با مساحت گودهای میکروسکوپی بر روی سطوح شکستگی ایجاد شده است. در هیچ کدام از فایلهای Neolix و X Pro Gold خوردگی crevice یا pitting در نرمال سالین یا هیپوکلریت ۲/۵ درصد مشاهده نشد. در شکل های ۲ تا ۵، تصاویر میکروسکوپ الکترونی از سطح مقطع فایلهای Neolix و X Pro Gold آمده است.



شکل ۳- تصاویر میکروسکوپ الکترونی از کراس سکشن فایل Neolix پس از غوطه وری در محلول نرمال سالین

بحث:
اینسترومتهای NiTi به دلیل خصوصیات عالی و انعطاف پذیری بالا و نیز توانایی شکل پذیری بالای آلیاژ نیکل-تیتانیوم، انعطاف پذیری الاستیک بیشتری هنگام پیچش و خمش داشته و نیز مقاومت بالایی در برابر شکستگی‌های

بررسی اثر شوینده هیپوکلریت سدیم بر مقاومت چرخشی فایلهای روتاری نیکل-تیتانیوم

فرضیه رد شد. فایل Neolix توسط فرآیند EDM یا همان

ماشین کاری تخلیه الکتریکی (electro discharge machining) که در آن از یک جرقه الکتریکی جهت برش وسیله استفاده می‌شود، ساخته شده که به آن قابلیت انعطاف بالاتر و مقاومت به خستگی بیشتر با وجود سطح سخت و خشن را می‌دهد^(۹-۷,۴). سطح مقطع این فایل مستطیلی است که به آن اثر ضدپیچشی بالایی بخشیده است^(۷, ۱۰). پروسه ساخت متفاوت این فایل می‌تواند از دلایل نتایج بهتر (مدت زمان و تعداد چرخش بیشتر) آن نسبت به فایل X Pro Gold باشد. نتایج متفاوتی در خصوص تاثیر هیپوکلریت سدیم بر مقاومت به شکست فایلهای روتاری گزارش شده است. برخی از مطالعات اشاره کردند که استفاده از هیپوکلریت سدیم تاثیری بر مقاومت به شکست فایلهای روتاری ندارد و برخی نیز خلاف آن نشان داده اند Elnaghy و همکاران نشان دادند که میزان مقاومت به شکست فایلهای Reciproc و WaveOne Gold پس از غوطه وری در محلول هیپوکلریت سدیم ۵٪ و نرمال سالین تفاوت معناداری با یکدیگر ندارند^(۳) در مطالعه‌ای دیگر گزارش شد که غوطه وری فایلهای RaCe و ProFile و ProCe مدت ۱ تا دو ساعت در هیپوکلریت سدیم ۵/۲۵٪ در دمای ۲۱ درجه بر مقاومت به خستگی چرخش ای این فایلهای تاثیرگذار نیست^(۲۲). نتایج مطالعه‌ای در سال ۲۰۱۶ حاکی از این بود که غوطه وری فایلهای ProFile و CM و Typhoon در هیپوکلریت سدیم ۶٪ به مدت ۲۵ دقیقه تاثیری بر مقاومت به خستگی چرخش ای این فایلهای نداشت^(۲۳). در مطالعه Ferreira و همکاران نیز غوطه وری فایلهای ProFile و TwistedFiles و FlexMaster و Mtwo در محلول هیپوکلریت سدیم ۲/۵٪ تاثیری بر تعداد چرخش تا شکست نداشت^(۱۴) و همکاران گزارش کردند که غوطه وری در هیپوکلریت سدیم ۵٪ باعث کاهش معنادار مقاومت به چرخشی فایلهای cyclic fatigue می‌شود^(۲۴) در مطالعه Chompa و Revo S SU و Mtwo همکاران نیز غوطه وری فایلهای HyFlex و M3 به مدت

پیچشی در مقایسه با فایلهای stainless steel دارند^(۷).

البته این فایلهای مستعد شکست بوده و دو نوع شکست (خمشی و پیچشی) نیز برای آنها تعریف شده است^(۱). فرآیند شکست فایلهای روتاری NiTi از اهمیت بالینی زیادی برخوردار می‌باشد؛ زیرا شکست اینسترومانت ممکن است نتایج بالینی درمان را تحت تأثیر قرار داده و باعث بروز مشکل در خارج کردن فایلهای شکسته شود^(۱۸). شکستگی ابزار داخل کanal اغلب اتفاقی غیر قابل پیش بینی است که می‌تواند مانع از پاکسازی و شکل دهی کافی کanal ریشه شده و بر پیش آگهی درمان ریشه تاثیرگذارد. بطور کلی احتمال وقوع شکست ابزار داخل کanal به طور گستردگی بین ۰/۲۸ تا ۱۶/۲۰ درصد گزارش شده است^(۱۹). همچنین میزان شکستن فایلهایی که برای اولین بار استفاده می‌شوند ۰/۹٪ در ۷۸۶ دندان گزارش شده است cyclic fatigue نیز، مسئول ۵۰-۹۰٪ از شکستهای مکانیکی می‌باشد^(۲۰). ایراد فایلهای NiTi در استحکام کششی و Yield Strength اندک آنها در مقایسه با فایلهای Stainless Steel است که آنها را، حتی در اعمال نیروهای اندک نیز، مستعد شکستن می‌سازند^(۲۱). درمان ریشه با شکستگی ابزار داخل کanal، اغلب دشوار است و تمام کanal‌ها را نمی‌توان با موفقیت درمان نمود. از این رو پیشگیری از این امر، دارای اهمیت است و نیازمند درک عوامل موثر بر شکستگی ابزار در جهت کاهش احتمال شکستگی فایلهای درون کanal ریشه می‌باشد^(۱۹) با توجه به اینکه، مطالعه‌ای در خصوص X Pro Gold بررسی مقاومت به cyclic fatigue در فایلهای Neolix و Neolix پس از غوطه ور سازی در هیپوکلریت سدیم صورت نگرفته است، این مطالعه با هدف بررسی مقاومت به شکست چرخشی دو سیستم فایل نیکل-تیتانیوم X Pro Gold در حضور شوینده هیپوکلریت سدیم انجام گرفت. در این مطالعه، فرضیه اول و دوم تحقیق، محقق شد. در فرضیه سوم و چهارم، نوع فایل بر تعداد چرخش و مدت زمان تا شکستن فایلهای تاثیرگذار بود و فرضیه تایید شد؛ اما نوع محیط (نرمال سالین یا هیپوکلریت ۲/۵ درصد)، اختلاف معناداری نداشت و

همکاران حاکی از آن بود که در فایل D-Race میزان NCF پس از غوطه وری در ۵% NaOCl به مدت ۵ دقیقه در دمای ۳۷ درجه، به طور معناداری کاهش یافت^(۲۸). از علل تفاوت یافته های این مطالعه با مطالعه فعلی میتوان به استفاده از غلظت دما و نوع متفاوت فایل با این مطالعه اشاره نمود. در مطالعه حاضر، اختلاف تعداد چرخش تا شکست فایلهای در محلول هیپوکلریت سدیم ۰.۲/۵٪ معنادار نبود. همچنین از عوامل تاثیرگذار بر میزان شکستن فایلهای روتاری می توان به: شکل کanal، سرعت چرخش، تعداد استفاده ها و طراحی سطح مقطع فایل اشاره نمود. طراحی ناحیه سطح مقطع نیز ممکن است بر مقاومت فایل تاثیر بگذارد؛ فایل های با قطر بزرگ تر دچار تجمع استرس داخلی بیشتری می شوند؛ البته این رابطه همیشه درست نیست، به این معنی که افزایش قطر فایل ممکن است باعث افزایش مقاومت در برابر شکستگی شود^(۲۹). یکی از علل کاهش NCF می تواند محل خوردگی باشد. اگر خوردگی در ناحیه حداکثر تنش رخ نداده باشد، احتمالاً مقاومت فایل در برابر cyclic fatigue، کاهش نمی یابد^(۳۰). براساس تصاویر SEM، در این مطالعه در هیچ کدام از فایلهای Pro Gold X و Neolix، خوردگی crevice pitting یا در نرمال سالین یا هیپوکلریت سدیم ۰.۲/۵ درصد مشاهده نشد. تصاویر SEM در مطالعه ای Alfawaz و همکاران نشان دهنده این بود که در فایل ProTaper Gold F2، خوردگی در ناحیه رخ نش پس از حضور در هیپوکلریت سدیم با غلظت های ۰.۵/۲۵٪ و ۰.۲/۵٪، رخ نداده بود^(۳۱). در این مطالعه، کanal های مصنوعی با اندازه هایی بسیار نزدیک به فایل های آزمایش شده ساخته شده اند تا تغییرات موقعیت قرارگیری فایل ها که می تواند مقادیر NCF را تحت تأثیر قرار دهد را از بین ببرند.

مطابق با مطالعات قبلی، طول قطعه در ناحیه حداکثر انحنا، در محدوده ۰.۵-۰.۵/۲ میلی متر، نشان می دهد که ناحیه حداکثر تنش در شرایط مختلف، مشابه است. این نتایج، موقعیت قابلیت تکرار فایل ها در یک مسیر دقیق را تأیید کرد^{(۳۲-۴۱)، (۱۶)، (۱۴)، (۵)}. همچنین از یک کanal مصنوعی با زاویه انحنای ۶۰ و شعاع

۱۰ دقیقه در محلول هیپوکلریت سدیم ۰.۵٪، تاثیری بر روی NCF فایل ها نداشت^(۲۵). نتایج مطالعه ای دیگر نیز نشان داد که حضور فایل های Wave One Gold و Wave One در مدت ۵ و ۱۰ دقیقه در ۰.۲۵/۵ NaOCl درصد تاثیری روی چرخش تا شکست فایل ها نداشت^(۲۶). نتایج این مطالعات همراستا با یافته های مطالعه حاضر بود.

Alfawaz و همکاران گزارش کردند که استفاده از هیپوکلریت سدیم با غلظت های ۰.۵/۲۵٪ و ۰.۲۵٪ در داخل کanal های مصنوعی بطور معناداری باعث کاهش تعداد چرخش شکست و ProTaper در نتیجه کاهش مقاومت در برابر شکست فایل Gold F2 گردید^(۳۲). از علل تفاوت یافته های این مطالعه با مطالعه فعلی میتوان به استفاده از غلظت ها، دماها و نوع متفاوت فایل با این مطالعه اشاره نمود. Algahtani و همکاران نیز دریافتند که استفاده از هیپوکلریت سدیم ۰.۵٪ بطور معناداری باعث کاهش تعداد چرخش تا شکست و در نتیجه کاهش مقاومت در برابر شکست فایل های ProTaper Gold و ProTaper Universal گردید^(۳۳). از علل تفاوت یافته های این مطالعه با مطالعه فعلی نیز میتوان به استفاده از غلظت، دما، نوع متفاوت فایل و تعداد انحنای های متفاوت با این مطالعه اشاره نمود. نتایج مطالعه Palma و همکاران حاکی از این بود که استفاده از هیپوکلریت سدیم ۰.۳٪ (به مدت ۱ تا ۵ دقیقه) بطور معناداری باعث کاهش تعداد چرخش تا شکست و در نتیجه کاهش مقاومت در برابر شکست فایل های ProTaper Next گردید^(۳۴). از علل تفاوت یافته های این مطالعه با مطالعه فعلی میتوان به استفاده از غلظت ها، زمان، درجه انحنا و نوع متفاوت فایل با این مطالعه اشاره نمود. نتایج مطالعه Nogueria و همکاران نیز نشان داد که در فایل های Protaper Next، Sequence HyFlex EDM و Hyflex CM Next باعث کاهش تنش تا شکست فایل با این مطالعه اشاره نمود. نتایج مطالعه Protaper Next، Sequence HyFlex EDM در هیپوکلریت سدیم ۰.۵٪ مدت زمان چرخش تا شکست را به طور معناداری کاهش داد^(۳۵). از علل تفاوت یافته های این مطالعه با مطالعه فعلی میتوان به استفاده از غلظت، زمان ها و نوع متفاوت فایل با این مطالعه اشاره نمود. نتایج مطالعه ای در سال ۲۰۱۸

انحنای ۵ میلی متر استفاده شد؛ زیرا اکثر مطالعات cyclic fatigue در این اندازه ها انجام گرفته بودند.^(۵,۲)

نتیجه گیری:

نتایج این مطالعه نشان داد که محیط نگهداری و تقابل نوع فایل و محیط نگهداری، بر تعداد چرخش و مدت زمان قبل از شکستگی فایلهای Neolix X Pro Gold و Neolix تاثیرگذار نبود؛ اما نوع فایل در این موارد تاثیر گذار بود.

در مطالعات پیشین برای آزمایش cyclic fatigue از لوبریکنت ها یا آب مقطر استفاده می‌کردند^(۳۳-۴۲). اما در مطالعه حاضر، از هیپوکلریت سدیم ۲/۵ درصد استفاده شد چرا که از نظر بالینی توصیه می‌شود کanal ریشه با این ماده شوینده فعال، مرطوب باشد. هیپوکلریت سدیم می‌تواند با از بین بردن نیکل از سطح وسیله micropitting ایجاد کند، که ممکن است ویژگی وسیله NiTi را تحت تاثیر قرار دهد^(۵). علت این تفاوت می‌تواند نحوه استفاده متفاوت از هیپوکلریت سدیم و زمان استفاده از آن باشد.

باید توجه داشت نتایج تحقیق حاضر با نتایج بالینی، ارتباط مستقیمی ندارد؛ زیرا در اکثر موارد، آزمون‌های خستگی دوره‌ای طراحی شده، نمی‌توانند به طور کامل شرایط بالینی را شبیه‌سازی نمایند؛ بلکه تنها برای مقایسه‌ی تفاوت‌های بین فایل‌ها می‌توان از آنها استفاده کرد. عدم تشابه به شرایط بالینی که در آن فایل‌ها هیچ وقت اجازه چرخش به مدت زمان طولانی در یک موقعیت را نمی‌یابند را نیز، باید مورد توجه قرار داد. از نقاط قوت این مطالعه می‌توان به تعداد نمونه کافی و تقسیم تصادفی نمونه‌ها در گروه‌های مختلف مورد مطالعه و بررسی سطح شکستگی با میکروسکوپ الکترونی اشاره نمود. همچنین از محدودیت‌ها و نقاط ضعف این مطالعه می‌توان به عدم امکان شبیه‌سازی شرایط و دمای داخل دهانی، عدم استفاده از غلظت‌های متفاوت محلول هیپوکلریت سدیم و عدم بررسی چرخه‌های استریلیزاسیون روی تعداد چرخش تا شکست فایل‌ها اشاره نمود.

بررسی مقاومت به شکست چرخشی سیستم‌های فایل نیکل-تیتانیوم در حضور دیگر شوینده‌ها و حرارت‌ها و بررسی آنها در نمونه‌های دندانی خارج شده برای مطالعات بعدی پیشنهاد می‌شود.

References:

- 1-Pedullà E, Lo Savio F, La Rosa GRM, Miccoli G, Bruno E, Rapisarda S, et al. Cyclic fatigue resistance, torsional resistance, and metallurgical characteristics of M3 Rotary and M3 Pro Gold NiTi files. *Restor Dent Endod.* 2018;43(2):e25.
- 2-Algahtani F, Huang X, Haapasalo M, Wang Z, Hieawy A, Zhang D, et al. Fatigue resistance of ProTaper gold exposed to high-concentration sodium hypochlorite in double curvature artificial canal. *Bioact Mater.* 2019;4:245-8.
- 3-Elnaghy AM, Elsaka SE. Effect of sodium hypochlorite and saline on cyclic fatigue resistance of WaveOne Gold and Reciproc reciprocating instruments. *Int Endod J.* 2017;50(10):991-8.
- 4-Palma PJ, Messias A, Cerqueira AR, Tavares LD, Caramelo F, Roseiro L, et al. Cyclic fatigue resistance of three rotary file systems in a dynamic model after immersion in sodium hypochlorite. *Odontology.* 2019;107(3):324-32.
- 5-Alfawaz H, Alqedairi A, Alsharekh H, Almuzaini E, Alzahrani S, Jamleh A. Effects of Sodium Hypochlorite Concentration and Temperature on the Cyclic Fatigue Resistance of Heat-treated Nickel-titanium Rotary Instruments. *J Endod.* 2018;44(10):1563-6.
- 6-Karataş E, Arslan H, Büker M, Seçkin F, Çapar ID. Effect of movement kinematics on the cyclic fatigue resistance of nickel-titanium instruments. *Int Endod J.* 2016;49(4):361-4.
- 7-Seracchiani M, Miccoli G, Reda R, Zanza A, Obino FV, Bhandi S, et al. A comprehensive in vitro comparison of mechanical properties of two rotary endodontic instruments. *World J Dent.* 2020;11(3):185-7. 10.5005/jp-journals-10015-1729
- 8-Gündoğar M, Özürek T, Yilmaz K, Uslu G. Cyclic fatigue resistance of HyFlex EDM, Reciproc Blue, WaveOne Gold, and Twisted File Adaptive rotary files under different temperatures and ambient conditions. *J Dent Res Dent Clin Dent Prospects.* 2019;13(3):166-71.
- 9-Nishijo M, Ebihara A, Tokita D, Doi H, Hanawa T, Okiji T. Evaluation of selected mechanical properties of NiTi rotary glide path files manufactured from controlled memory wires. *Dent Mater J.* 2018;37(4):549-54.
- 10-Ha JH, Cheung GS, Versluis A, Lee CJ, Kwak SW, Kim HC. 'Screw-in' tendency of rotary nickel-titanium files due to design geometry. *Int Endod J.* 2015;48(7):666-72.
- 11-Forghani M, Hezarjaribi M, Teimouri H. Comparison of the shaping characteristics of Neolix and Protaper Universal systems in preparation of severely-curved simulated canals. *J Clin Exp Dent.* 2017;9(4):e556-e9.
- 12-Anil S., Neelakantan P., Nassif W. Evolution of Nickel-titanium Alloys in Endodontics. *J Contemp. Dent. Pract.* 2017;18(11):1090-6..
- 13-Hecksher F, Vidigal B, Coelho P, Otoni D, Alvarenga C, Nunes E. Endodontic treatment in artificial deciduous teeth by manual and mechanical instrumentation: A pilot study *Int J Clin Pediatr Dent.* 2018;11(6):510-2
- 14-Ferreira F, Adeodato C, Barbosa I, Aboud L, Scelza P, Zaccaro Scelza M. Movement kinematics and cyclic fatigue of NiTi rotary instruments: a systematic review. *Int Endod J.* 2017;50(2):143-52.
- 15-Patnana AK, Chugh A. Endodontic Management of Curved Canals with ProTaper Next: A Case Series. *Contemp. Clin. Dent.* 2018;9(Suppl 1):S168-72.
- 16-AlShwaimi E. Cyclic fatigue resistance of a novel rotary file manufactured using controlled memory Ni-Ti technology compared to a file made from M-wire file. *Int Endod J.* 2018;51(1):112-7.
- 17-Zupanc J, Vahdat-Pajouh N, Schäfer E. New thermomechanically treated NiTi alloys - a review. *Int Endod J.* 2018;51(10):1088-103.
- 18-Ozyurek T, Yilmaz K, Uslu G. Effect of adaptive motion on cyclic fatigue resistance of a nickel titanium instrument designed for retreatment. *Restor Dent Endod.* 2017;42(1):34-8.
- 19-Ertugrul IF. Effect of sodium hypochlorite on the cyclic fatigue resistance: A scanning electron microscopy evaluation. *Microsc Res Tech.* 2019;82(12):2089-94.
- 20-El Feky HM, Ezzat KM, Bedier MMA. Cyclic fatigue resistance of M-Pro and RaCe Ni-Ti rotary endodontic instruments in artificial curved canals: a comparative in vitro study. *Restor Dent Endod.* 2019;44(4):e44.
- 21-Ozyurek T, Yilmaz K, Uslu G. The effects of autoclave sterilization on the cyclic fatigue resistance of ProTaper Universal, ProTaper Next, and ProTaper Gold nickel-titanium instruments. *Restor Dent Endod.* 2017;42(4):301-8.
- 22-Tabassum S, Zafar K, Umer F. Nickel-Titanium Rotary File Systems: What's New? *Eur. Endod. J.* 2019;4(3):111-7.
- 23-Elnaghy AM, Elsaka SE. Mechanical properties of ProTaper Gold nickel-titanium rotary instruments. *Int Endod J.* 2016;49(11):1073-8.
- 24-Iandolo A, Amato M, Dagna A, Poggio C, Abdellatif D, Franco V, et al. Intracanal heating of sodium hypochlorite: Scanning electron microscope evaluation of root canal walls. *J Conserv Dent.* 2018;21(5):569-73.
- 25-Champa C, Divya V, Srirekha A, Karale R, Shetty A, Sadashiva P. An analysis of cyclic fatigue resistance of reciprocating instruments in different canal curvatures after immersion in sodium hypochlorite and autoclaving: An in vitro study. *J Conserv Dent.* 2017;20(3):194-8.
- 26-Vallabhaneni S, Fatima K ,Kumar TH. Cone-beam computed tomography assessment of root canal transportation using WaveOne Gold and Neoniti single-file systems. *J Conserv Dent.* 2017;20(6):434-8.
- 27-Nogueira D, Bueno C, Kato AS, Martin AS, Pelegrine RA, Limoeiro A, et al. Effect of immersion in sodium hypochlorite on the cyclic fatigue resistance of three rotary instruments. *J Conserv Dent.* 2020;23(6):554-7.
- 28-Pedullà E, Benites A, La Rosa GM, Plotino G, Grande NM, Rapisarda E, et al. Cyclic Fatigue Resistance of Heat-treated Nickel-titanium Instruments after Immersion in Sodium Hypochlorite and/or Sterilization. *J Endod.* 2018;44(4):648-53.
- 29-Burklein S, Mathey D, Schafer E. Shaping ability of ProTaper NEXT and BT-RaCe nickel-titanium instruments in severely curved root canals. *Int Endod J.* 2015;48:774-81

- 30-Yilmaz K, Uslu G, Gündoðar M, Özyürek T, Grande NM, Plotino G. Cyclic fatigue resistances of several nickel-titanium glide path rotary and reciprocating instruments at body temperature. *Int Endod J.* 2018;51:924–30.
- 31-Tang W-R, Smales RJ, Chen H-F, Guo X-Y, Si H-Y, Gao L-M, et al. Prevention and management of fractured instruments in endodontic treatment. *World J Surg Proced.* 2015;5(1):82-98.
- 32-Tewari RK, Kapoor B, Kumar A, Mishra SK, Mukhtar-Un-Nisar-Andrabi S. Fracture of rotary nickel titanium instruments. *J Oral Res Rev.* 2017;9(1):37-44.
- 33-Ujjwal K, Borkar AC, Oswal P, Bhargava K. Effect of Cryogenic Treatment on Fracture Resistance of Nickel Titanium Rotary Instruments a Systematic Review. *Int J Cur Res Rev.* 2017;9(15):32-6.
- 34-Goo HJ, Kwak SW, Ha JH, Pedullà E, Kim HC. Mechanical Properties of Various Heat-treated Nickel-titanium Rotary Instruments. *J Endod.* 2017;43(11):1872–7.
- 35-Zanza A, D'Angelo M, Reda R, Gambarini G, Testarelli L, Di Nardo D (2021) An update on nickel-titanium rotary instruments in endodontics: mechanical characteristics, testing and future perspective-an overview. *Bioengineering (Basel).* 2021;8(12):218.
- 36-de Vasconcelos RA, Murphy S, Carvalho CA, Govindjee RG, Govindjee S, Peters OA. Evidence for reduced fatigue resistance of contemporary rotary instruments exposed to body temperature. *J Endod* 2016; 42: 782-7.
- 37-Capar ID, Kaval ME, Ertas H, Sen BH. Comparison of the cyclic fatigue resistance of 5 different rotary pathfinding instruments made of conventional nickel-titanium wire, M-wire, and controlled memory wire. *J Endod.* 2016;41(5):535–8.
- 38-Cai JJ, Tang XN, Ge JY. Effect of irrigation on surface roughness and fatigue resistance of controlled memory wire nickel-titanium instruments. *Int Endod J.* 2017;50(7):718-24.
- 39-Uslu G, Özyürek T, Yılmaz K, Plotino G. Effect of Dynamic Immersion in Sodium Hypochlorite and EDTA Solutions on Cyclic Fatigue Resistance of WaveOne and WaveOne Gold Reciprocating Nickel-titanium Files. *J Endod.* 2018;44(5):834-7.
- 40-Topçuoðlu HS, Pala K, Aktı A, Düzgün S, Topçuoðlu G. Cyclic fatigue resistance of D-RaCe, ProTaper, and Mtwo nickel-titanium retreatment instruments after immersion in sodium hypochlorite. *Clin Oral Investig.* 2016;20(6):1175-9.
- 41-Kyaw Moe MM, Ha JH, Jin MU, et al. Root Canal Shaping Effect of Instruments with Offset Mass of Rotation in the Mandibular First Molar: A Micro-computed Tomographic Study. *J Endod.* 2018;5:822–7.
- 42-Grande NM, Plotino G, Silla E, Pedullà E, DeDeus G, Gambarini G, et al. Environmental Temperature Drastically Affects Flexural Fatigue Resistance of Nickel-titanium Rotary Files. *J Endod.* 2017;43(7):1157-60.
- 43-Nabavizadeh MR, Sedigh-Shams M, Abdolrasoulnia S. Cyclic Fatigue Life of Two Single File Engine-Driven Systems in Simulated Curved Canals. *Iran Endod J.* 2018;13(1):61–5.
- 44-de Vasconcelos RA, Murphy S, Carvalho CA, Govindjee RG, Govindjee S, Peters OA. Evidence for Reduced Fatigue Resistance of Contemporary Rotary Instruments Exposed to Body Temperature. *J Endod.* 2016;42(5):782-7.